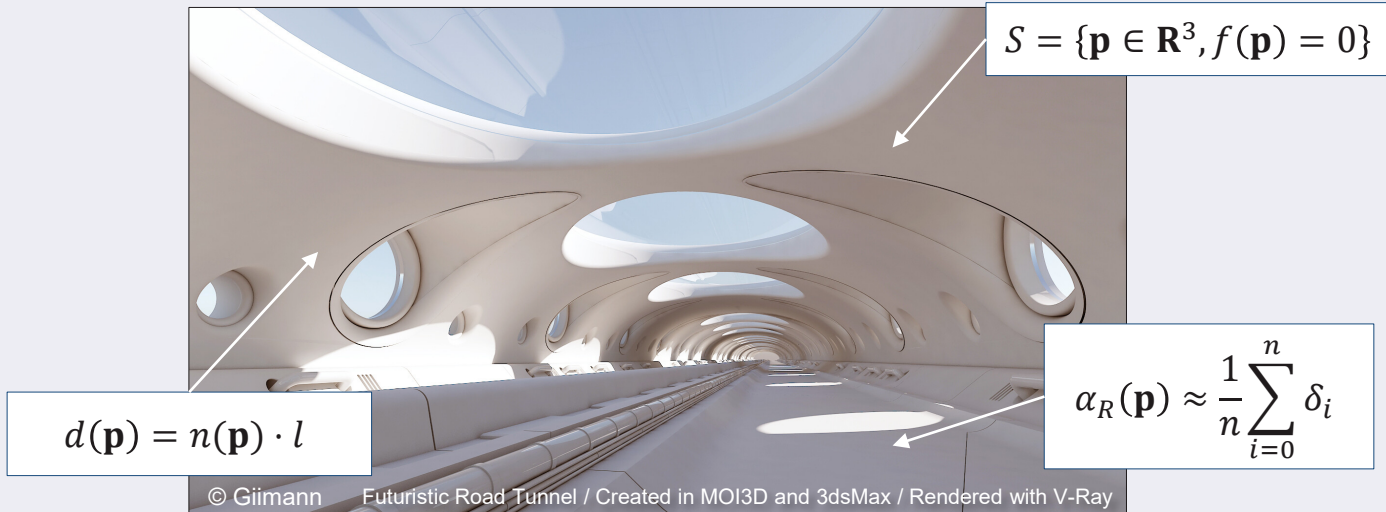


Computer Graphics

From mathematics ...



... to the screen

E. Galin
Université Lyon 1

Computer Graphics

Mathematics
Modeling
Color and Texturing
Shading
Terrain Synthesis
Animation

Computer Graphics

Vectors

Vecteurs

Vectors

Triangles

Interpolation

Matrices

Projections

Frames

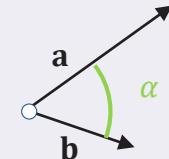
Sampling

Fondamentaux

Vecteur $\mathbf{a} = (x_a, y_a) \in \mathbb{R}^2$, $\mathbf{a} = (x_a, y_a, z_a) \in \mathbb{R}^3$

Norme $|\mathbf{a}| = (x_a^2 + y_a^2 + z_a^2)^{1/2}$

$$s = |\mathbf{a}| |\mathbf{b}| \cos \alpha$$



Produit scalaire

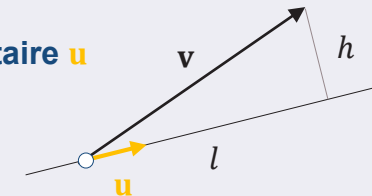
Définition $s = \mathbf{a} \cdot \mathbf{b} = x_a x_b + y_a y_b + z_a z_b$

Longueur projetée d'un vecteur \mathbf{v} sur un axe Δ de direction unitaire \mathbf{u}

$$l = \mathbf{v} \cdot \mathbf{u}$$

$$h = \sqrt{|\mathbf{v}|^2 - l^2}$$

Produit scalaire signé



Produit vectoriel

Scalaire dans le plan, vecteur dans l'espace

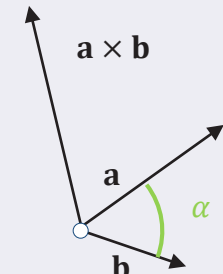
$$\mathbf{a} \times \mathbf{b} = x_a y_b - y_a x_b \in \mathbb{R}$$

Dans le plan $\mathbf{a}, \mathbf{b} \in \mathbb{R}^2$

$$\mathbf{a} \times \mathbf{b} = \begin{pmatrix} y_a z_b - z_a y_b \\ -(x_a z_b - z_a x_b) \\ x_a y_b - y_a x_b \end{pmatrix} \in \mathbb{R}^3$$

Dans l'espace $\mathbf{a} \times \mathbf{b}$ orthogonal à \mathbf{a} et \mathbf{b}

$$|\mathbf{a} \times \mathbf{b}| = |\mathbf{a}| |\mathbf{b}| \sin \alpha$$



Vectors

Triangles

Interpolation

Matrices

Projections

Frames

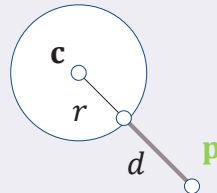
Sampling

Distances

Distance entre deux points $d = |\mathbf{b} - \mathbf{a}|$

Distance entre un point et une sphère

$$d(\mathbf{p}, S) = |\mathbf{p} - \mathbf{c}| - r$$

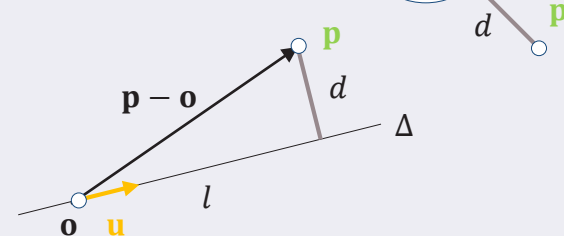


Distance d'un point à une droite

Soit \mathbf{o} un point de Δ de direction unitaire \mathbf{u}

$$l = (\mathbf{p} - \mathbf{o}) \cdot \mathbf{u}$$

$$d(\mathbf{p}, \Delta) = \sqrt{|\mathbf{p} - \mathbf{o}|^2 - l^2}$$



Distance d'un point à un plan

Soit \mathbf{o} un point du plan Π de normale \mathbf{n}

$$d(\mathbf{p}, \Pi) = |\mathbf{n} \cdot (\mathbf{p} - \mathbf{o})|$$

Computer Graphics

Triangles

Triangles

Vectors
Triangles
Interpolation
Matrices
Projections
Frames
Sampling

Caractérisation

Sommets \mathbf{a} \mathbf{b} \mathbf{c}

Normale $\hat{\mathbf{n}}$ unitaire (sens de parcours) et aire s

$$\mathbf{n} = (\mathbf{b} - \mathbf{a}) \times (\mathbf{c} - \mathbf{a})$$

On définit $\hat{\mathbf{n}} = \mathbf{n}/\|\mathbf{n}\|$

$$s = 1/2 \|\mathbf{n}\| = 1/2 |(\mathbf{b} - \mathbf{a}) \times (\mathbf{c} - \mathbf{a})|$$



Norme du produit vectoriel

Coordonnées

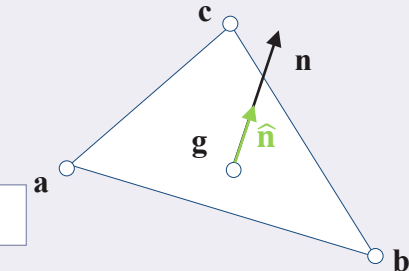
$$\mathbf{p}(x, y, z)$$

Norme

$$\|\mathbf{p}\|^2 = x^2 + y^2 + z^2$$

Vecteur unitaire

$$\hat{\mathbf{p}} = \mathbf{p}/\|\mathbf{p}\|$$



Coordonnées barycentriques

Le barycentre de (\mathbf{a}, α) et (\mathbf{b}, β) est l'unique point \mathbf{q} tel que $\alpha \mathbf{a} + \beta \mathbf{b} = \mathbf{0}$

$$\text{Coordonnées } \mathbf{q} = (\alpha \mathbf{a} + \beta \mathbf{b}) / (\alpha + \beta)$$



Le milieu de \mathbf{ab} est l'isobarycentre $\mathbf{m} = 1/2 \mathbf{a} + 1/2 \mathbf{b}$

Lorsque $\alpha = t$ et $\beta = 1 - t$, $t \in [0,1]$ on retrouve l'interpolation

$$\mathbf{q}(t) = (1 - t)\mathbf{a} + t\mathbf{b}$$

Généralisation à n points

Centre de gravité d'un triangle $\mathbf{g} = (\mathbf{a} + \mathbf{b} + \mathbf{c})/3$

Computer Graphics

Functions

Interpolation

Vectors

Triangles

Interpolation

Matrices

Projections

Frames

Sampling

Interpolation linéaire

Sur $[0,1]$ on veut f telle que $f(0) = a$ et $f(1) = b$

$$f(x) = (1 - x)a + xb$$

$$f(x) = \frac{x_b - x}{x_b - x_a} y_b + \frac{x - x_a}{x_b - x_a} y_a$$

Cas général : $f(x_a) = y_a$ et $f(x_b) = y_b$

Interpolation de degré supérieur

On cherche $f \in \mathbb{R}_n[x]$ avec $f(x_a) = y_a$ et $f(x_b) = y_b$ et $f^{(k)}(x_a) = y_a^k$ et $f^{(k)}(x_b) = y_b^k$

2n contraintes, polynôme de degré $2n - 1$

Sur $[0,1]$, on veut f telle que $f(0) = a$ et $f(1) = b$ et $f^{(k)}(0) = f^{(k)}(1) = 0$

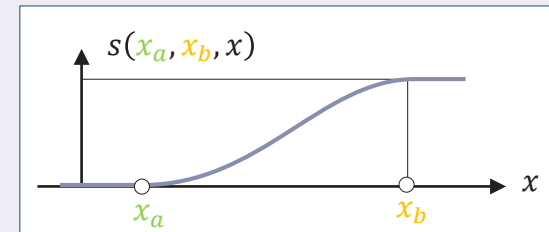
Cubique	$f(x) = x^2(3 - 2x)$
Quintique	$f(x) = x^3(6x^2 - 15x + 10)$

Fonction smoothstep

$$s(x_a, x_b, x) = f \circ c \circ v(x, x_a, x_b)$$

Restriction Cubique Changement de variable

$$c(x) = \max(0, \min(x, 1))$$
$$v(x) = \frac{x_b - x}{x_b - x_a}$$



Université Claude Bernard Lyon 1

eric.galin@liris.cnrs.fr

<http://liris.cnrs.fr/~egalin>

Interpolation

Vectors

Triangles

Interpolation

Matrices

Projections

Frames

Sampling

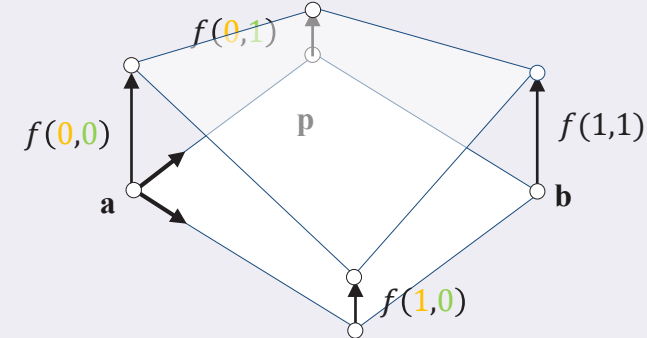
Interpolation bi linéaire

Equation $f(u, v)$ où $(u, v) \in [0,1]^2$ et 4 contraintes aux sommet du domaine

$$f(u, v) = (1 - u)(1 - v) f(0,0) + (1 - u)v f(0,1) + u(1 - v) f(1,0) + u f(1,1)$$

Paramétrage général sur $(u, v) \in [u_a, u_b] \times [v_a, v_b]$

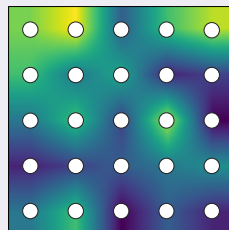
Changement de variable



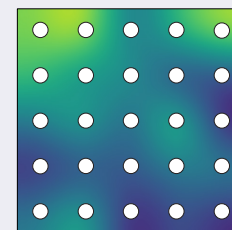
Interpolation de degré supérieur

Plus complexe : 16 contraintes pour une bi cubique

Valeurs $f(u, v)$, dérivées $\partial f / \partial u$ et $\partial f / \partial v$ et dérivées secondes $\partial^2 f / \partial u \partial v$



Linéaire



Cubique



Université Claude Bernard Lyon 1

eric.galin@liris.cnrs.fr

<http://liris.cnrs.fr/~egalin>

Master

Computer Graphics

Matrixes

Algèbre linéaire

Vectors
Triangles
Interpolation
Matrices
Projections
Frames
Sampling

Matrices de réels

Tableau de réels de l lignes par c colonnes

Opérations

Somme, produit de matrice

$$\mathbf{A} + \mathbf{B} = \mathbf{B} + \mathbf{A}$$

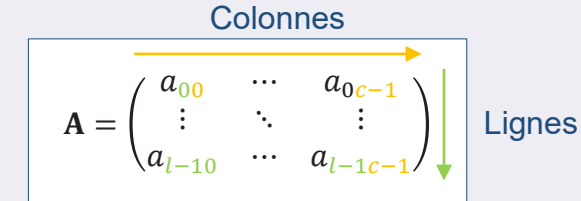
$$\mathbf{A} \mathbf{B} \neq \mathbf{B} \mathbf{A}$$

Matrice identité, inverse

$$\mathbf{I} = \begin{pmatrix} 1 & 0 \\ 0 & 1 \end{pmatrix}$$

\mathbf{A}^{-1} si elle existe est telle que
 $\mathbf{A} \mathbf{A}^{-1} = \mathbf{I}$

Inverse d'un produit
 $(\mathbf{A} \mathbf{B})^{-1} = \mathbf{B}^{-1} \mathbf{A}^{-1}$



Ordre des transformations important

Transposée \mathbf{A}^t définie par $a_{ij}^t = a_{ji}$



eric.galin@liris.cnrs.fr
<http://liris.cnrs.fr/~egalin>

Transformations

Vectors
Triangles
Interpolation
Matrices
Projections
Frames
Sampling

Matrices de transformation

Homothétries

Homothétie de vecteur s

$$S(s) = \begin{pmatrix} s_x & 0 & 0 \\ 0 & s_y & 0 \\ 0 & 0 & s_z \end{pmatrix}$$

Rotations d'angle θ

Rotation d'angle θ autour des axes principaux

$$R_x(\theta) = \begin{pmatrix} 1 & 0 & 0 \\ 0 & c & -s \\ 0 & s & c \end{pmatrix} \quad R_y(\theta) = \begin{pmatrix} c & 0 & -s \\ 0 & 1 & 0 \\ s & 0 & c \end{pmatrix} \quad R_z(\theta) = \begin{pmatrix} c & -s & 0 \\ s & c & 0 \\ 0 & 0 & 1 \end{pmatrix}$$

Rotation d'angle θ autour de l'axe u

$$R_u(\theta) = \begin{pmatrix} u_x^2 \bar{c} + c & u_x u_y \bar{c} - s u_z & u_x u_z \bar{c} + s u_y \\ u_x u_y \bar{c} + s u_z & u_y^2 \bar{c} + c & u_y u_z \bar{c} - s u_x \\ u_x u_z \bar{c} - s u_y & u_y u_z \bar{c} + s u_x & u_z^2 \bar{c} + c \end{pmatrix}$$

$$s = \sin \theta$$

$$c = \cos \theta$$

$$\bar{c} = 1 - \cos \theta$$



Université Claude Bernard Lyon 1

eric.galin@liris.cnrs.fr

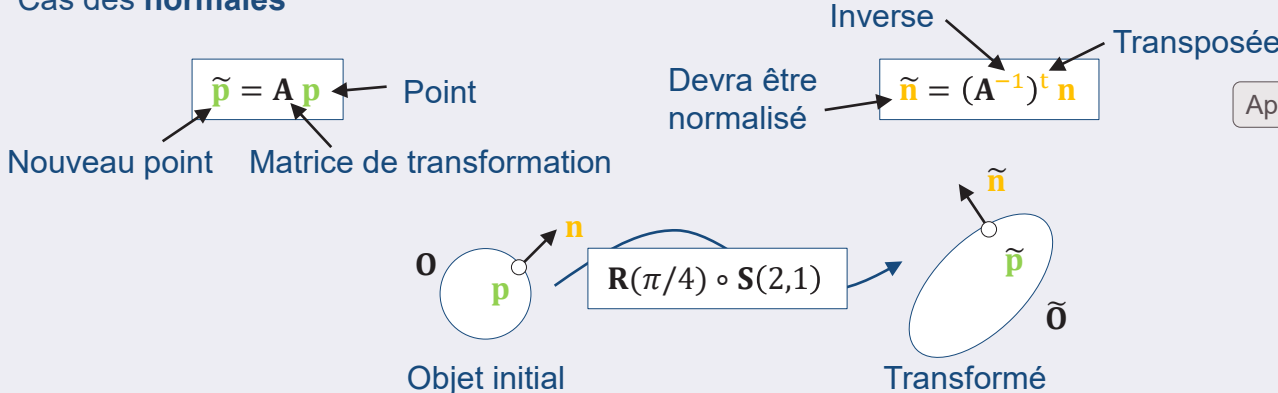
<http://liris.cnrs.fr/~egalin>

Transformations

Vectors
Triangles
Interpolation
Matrices
Projections
Frames
Sampling

Application

Les **positions** résultant d'une transformation sont définies par produit matrice vecteur
Cas des **normales**



Appendix

Compositions

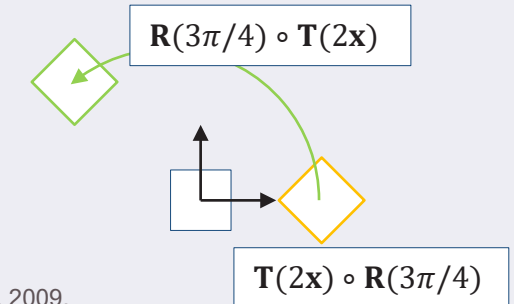
Les transformations sont effectuées dans le repère **canonique**

Rotation autour de l'axe Δ en un point d'ancrage a

$$R_{a,z}(\theta) = T_a \circ R_\Delta(\theta) \circ T_{-a}$$

L'**ordre** des transformations est important

$$A B \neq B A$$



P. Shirley and S. Marschner. Fundamentals of Computer Graphics. Third Edition. A.K. Peters, 2009.

Computer Graphics

Projection

Camera rays

Vectors
Triangles
Interpolation
Matrices
Projections
Frames
Sampling

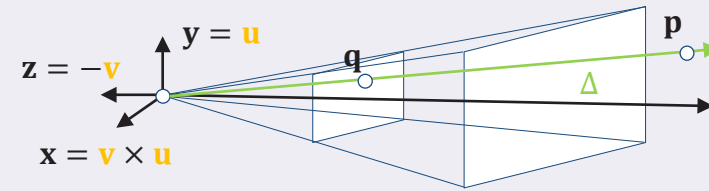
Objectifs

Projeter un point $\mathbf{p} \in \mathbb{R}^3$ de l'espace sur l'écran en un pixel $\mathbf{q} \in [0, w - 1] \times [0, h - 1] \subset \mathbb{N}^2$
Définir l'équation d'un rayon Δ à partir d'un pixel \mathbf{q}

Caractérisation

Position \mathbf{e} , vecteur de vue \mathbf{v} , vecteur haut \mathbf{u}
Angle d'ouverture horizontal α , demi angle $\beta = \alpha/2$
Aspect ratio $r = w/h$
Demi hauteur $\tilde{h} = h/2$ et longueur $\tilde{w} = w/2$

Rayon $\Delta(\mathbf{e}, \mathbf{d})$ depuis un pixel \mathbf{q}



$$\mathbf{d} = \tan \beta \frac{(\mathbf{q}_x - \tilde{w})}{\tilde{w}} \mathbf{x} + \frac{1}{r} \tan \beta \frac{(\tilde{h} - \mathbf{q}_y)}{\tilde{h}} \mathbf{y} + \mathbf{v}$$

Coordonnées unitaires dans l'écran

Repère local
 $\mathbf{x} = \mathbf{v} \times \mathbf{u}$
 $\mathbf{y} = \mathbf{u}$
 $\mathbf{z} = -\mathbf{v}$

Projection d'un point \mathbf{p} sur un pixel \mathbf{q}

$$\tilde{\mathbf{q}} = \left(\frac{(\mathbf{p} - \mathbf{e}) \cdot \mathbf{x}}{d \tan \beta}, \frac{(\mathbf{p} - \mathbf{e}) \cdot \mathbf{u}}{d r \tan \beta} \right)$$

$$\mathbf{q} = (\tilde{w} + \tilde{w} \tilde{\mathbf{q}}_x, \tilde{h} - \tilde{h} \tilde{\mathbf{q}}_y)$$

Computer Graphics

Frames

Repères orthonormés

Vectors
Triangles
Interpolation
Matrices
Projections
Frames
Sampling

Construction

Construction d'un repère local orthonormé (\mathbf{u} , \mathbf{v} , \mathbf{n}) à partir d'une direction \mathbf{n}

Algorithme simple [Hughes1999] ou optimisé [Frisvad2012]

Si $|\mathbf{n}_x| > |\mathbf{n}_z|$
 $\mathbf{v} = (-\mathbf{n}_y, \mathbf{n}_x, 0)$

Sinon

$$\mathbf{v} = (0, -\mathbf{n}_z, \mathbf{n}_y)$$

$$\mathbf{v}' = \mathbf{v} / |\mathbf{v}|$$

$$\mathbf{u} = \mathbf{v}' \times \mathbf{n}$$

6 × , 3 +

1√, 3/, 3 × , 2 +

Si $\mathbf{n}_z > 1 - \varepsilon$
 $\mathbf{u} = \mathbf{x}$ et $\mathbf{u}' = \mathbf{y}$
Sinon si $\mathbf{n}_z < \varepsilon - 1$
 $\mathbf{u} = -\mathbf{y}$ et $\mathbf{u}' = -\mathbf{x}$

Sinon

$$\mathbf{a} = 1/(1 + \mathbf{n}_z)$$

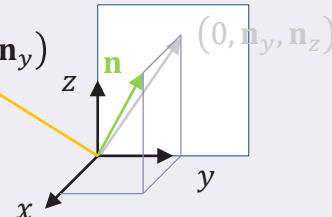
$$\mathbf{b} = -\mathbf{u}' \mathbf{n}_x \mathbf{n}_y$$

$$\mathbf{u} = (1 - \mathbf{a} \mathbf{n}_x^2, \mathbf{b}, -\mathbf{n}_x)$$

$$\mathbf{v}' = (1 - \mathbf{a} \mathbf{n}_y^2, \mathbf{b}, -\mathbf{n}_y)$$

1/, 6 × , 5 +

$$\mathbf{v} = (0, -\mathbf{n}_z, \mathbf{n}_y)$$



Computer Graphics

Random Samples

Discs

Vectors
Triangles
Interpolation
Matrices
Projections
Frames
Sampling

Random points inside

Rejection algorithm : compute (x, y) uniformly in $[-r, r]^2$ while $x^2 + y^2 < r^2$

Trigonometry : compute $\rho \in [0,1]$ and $\theta \in [0,2\pi]$, we have:

$$\mathbf{p} = r\sqrt{\rho}(\cos \theta, \sin \theta)$$

Vogel disc sampling

Spiral distribution of points $\mathbf{p}_k, k \in [0, n - 1]$

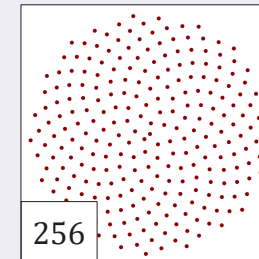
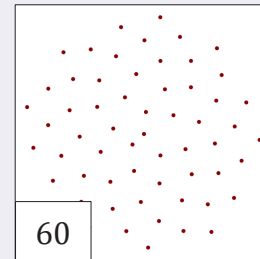
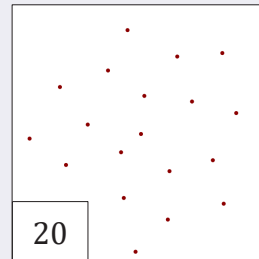
Procedural and deterministic way to sample a disc

$$\mathbf{p}_k = r\sqrt{\rho_k}(\cos \theta_k, \sin \theta_k)$$

$$\rho_k = (k + 1/2)/n$$

$$\theta_k \approx \gamma k, \text{ with } \gamma = \pi(3 - \sqrt{5}) \approx 2,4$$

Golden angle



eric.galin@liris.cnrs.fr

<http://liris.cnrs.fr/~egalin>

H. Vogel. A better way to construct the sunflower head. *Mathematical Biosciences*. 44 (44), 179-189, 1979

Sphere

Vectors
Triangles
Interpolation
Matrices
Projections
Frames
Sampling

Random points inside

Rejection algorithm : compute (x, y) uniformly in $[-r, r]^3$ while $x^2 + y^2 + z^2 < r^2$

Trigonometry : compute $\rho \in [0,1]$ and $(u, v) \in [0,1]^2$, then set:

$$\mathbf{p} = r\sqrt[3]{\rho}(\cos \theta \sin \varphi, \sin \theta \sin \varphi, \cos \varphi)$$

$$\theta = 2\pi u \in [0, 2\pi]$$

$$\varphi = \cos^{-1}(2v - 1) \in [-\pi/2, \pi/2]$$

Fibonacci surface sampling

Spiral distribution of points $\mathbf{p}_k, k \in [0, n - 1]$

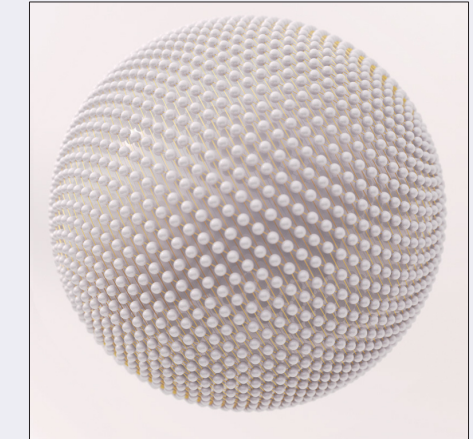
Procedural and deterministic way to sample a sphere

$$\varphi_k \approx \cos^{-1}(1 - 2k/n)$$

$$\mathbf{p}_k = r\sqrt{\rho_k}(\cos \theta_k \sin \varphi_k, \sin \theta_k \sin \varphi_k, \cos \varphi_k)$$

$$\rho_k = (k + 1/2)/n$$

$$\theta_k \approx (k + 1/2)\pi(1 + \sqrt{5})$$



Simplified equations avoid unnecessary trigonometric operations

Hemisphere

Vectors
Triangles
Interpolation
Matrices
Projections
Frames
Sampling

Random points inside

Rejection algorithm

Sample point inside S , compute $s = (\mathbf{p} - \mathbf{c}) \cdot \mathbf{n}$, if $s < 0$ set $\mathbf{p} = \mathbf{p} + 2s \mathbf{n}$

Fibonacci sampling

Change angle $\varphi_k \approx \cos^{-1}(k/n)$ in the spherical distribution to cover the hemisphere only
Simplify equation (avoid unnecessary cos and sin)

$$\mathbf{p}_k = r\sqrt{\rho_k} \left(\cos \theta_k \sqrt{1-z^2}, \sin \theta_k \sqrt{1-z^2}, z \right)$$

$\rho_k = (k+1/2)/n$ $\theta_k \approx (k+1/2)\pi(1+\sqrt{5})$ $z \approx k/n$



eric.galin@liris.cnrs.fr

<http://liris.cnrs.fr/~egalin>

Computer Graphics

Appendix

Transformations des normales

Comatrice

Les cofacteurs d'indices ij sont définis par

$$(com \mathbf{A})_{ij} = (-1)^{i+j} \det \mathbf{A}_{ij}$$

Sous matrice de taille $n - 1$ sans la ligne i ni la colonne j de \mathbf{A}

Propriété avec l'inverse

$$\mathbf{A}^{-1} = \frac{1}{\det \mathbf{A}} (com \mathbf{A})^t$$

Normales

Dans \mathbb{R}^3 , la comatrice $com \mathbf{A}$ décrit l'interaction de \mathbf{A} avec le produit vectoriel

$$\mathbf{A} \mathbf{u} \times \mathbf{A} \mathbf{v} = (com \mathbf{A}) \mathbf{u} \times \mathbf{v}$$

Démonstration

Donc $\forall (\mathbf{u}, \mathbf{v}) \in \mathbb{R}^3 \times \mathbb{R}^3$, en posant $\mathbf{n} = \mathbf{u} \times \mathbf{v}$, on en déduit pour une transformation affine \mathbf{A}

$$\tilde{\mathbf{n}} = (com \mathbf{A}) \mathbf{n} = \det \mathbf{A} (\mathbf{A}^{-1})^t \mathbf{n}$$

$$\tilde{\mathbf{n}} = (\mathbf{A}^{-1})^t \mathbf{n}$$



eric.galin@liris.cnrs.fr
<http://liris.cnrs.fr/~egalin>

En effet, $\forall x: (\det \mathbf{A}) \mathbf{u} \times \mathbf{v} \cdot x = (\det \mathbf{A}) |\mathbf{u}, \mathbf{v}, x| = |\mathbf{A}\mathbf{u}, \mathbf{A}\mathbf{v}, \mathbf{A}x| = \mathbf{A}\mathbf{u} \times \mathbf{A}\mathbf{v} \cdot \mathbf{A}x = \mathbf{A}^t (\mathbf{A}\mathbf{u} \times \mathbf{A}\mathbf{v}) \cdot x$
Donc $\mathbf{A}^t (\mathbf{A}\mathbf{u} \times \mathbf{A}\mathbf{v}) = (\det \mathbf{A}) \mathbf{u} \times \mathbf{v} = \mathbf{A}^t (com \mathbf{A}) \mathbf{u} \times \mathbf{v}$